

宮崎大学 工学部 正員 河野二夫

" " 高野重利

" " 学生員 ○吉田浩久

1.はじめに

筆者らは、これまでに離岸堤近傍の流れに注目した実験を行ない、その結果を報告してきた。(1983, 1984, 土木学会西部支部研究発表会)。最初の報告は背り離岸堤で、次の報告は縫め切り離岸堤と背りの場合の堤近傍の流れの比較が主な内容である。本報告は、上記報告に引き続いた移動床による海底の変形による沈没について実験した結果を示してある。とくに離岸堤として背りの場合と縫め切りの場合の堤背後の海底変動に注目して実験した結果が検討されてある。

2. 実験装置と実験方法

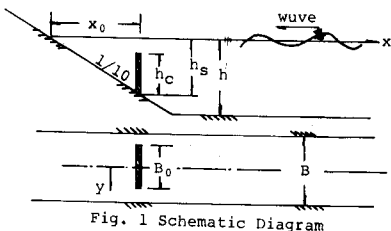


Fig. 1 Schematic Diagram

実験には長さ21m、幅1.2m、高さ1mのコンクリート二次元造波水路を使用した。水槽の一端にはFlap-Typeの造波板が取り付けてあり、他端は図-1に示すよう、1/10勾配の一様斜面の移動床が平均粒径0.4mmの砂を用いて置かれてある。図-1で $x = X_0$ (2.6m) の地点に厚さ3cmの木製の離岸堤を水路底に固定している。離岸堤の諸元を表-1に示す。

模型	h (m)	h_{s0} (m)	h_{c0} (m)	B (m)	B_0 (m)	図
0型	0.7	—	—	1.2	—	—
1型	0.7	0.26	0.16	1.2	1.0	4
2型	0.7	0.26	0.16	1.2	0.8	5
3型	0.7	0.26	0.21	1.2	0.8	6
4型	0.7	0.26	縫め切り	1.2	0.8	7

表-1 縮尺模型の諸元

実験の方法は、周期(T)が1.6秒の波を離岸堤背後の一様斜面上に作用させ、堤近傍の波形と水底の土砂面の変動を計測

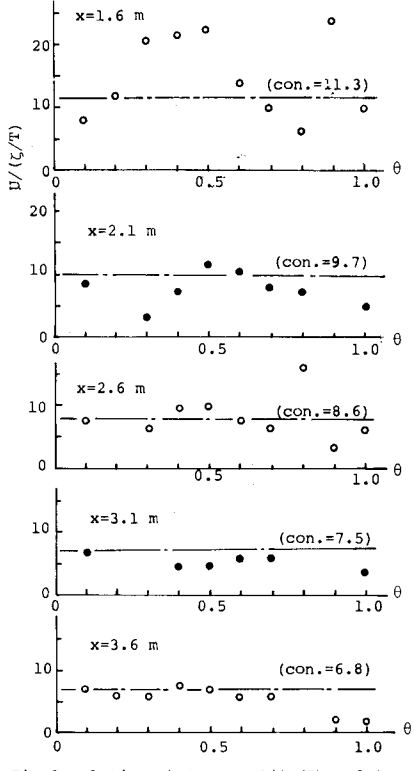
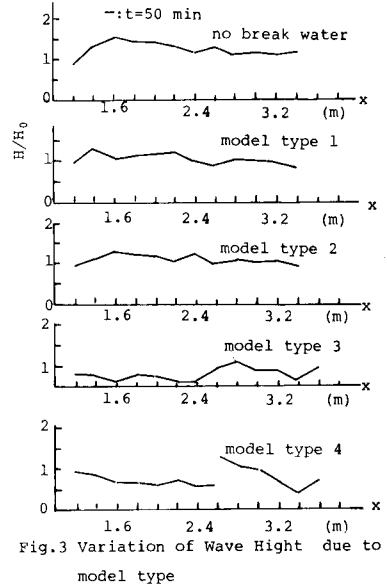
Fig. 2 Relations between $U/(\zeta/T)$ and θ 

Fig. 3 Variation of Wave Height due to model type

いた。

3. 結果と考察

(A) 水面変動(ζ)と水底の水粒子速度(u)の関係に微小振幅波理論によると次式に付る。

$$\frac{u}{(\zeta/T)} = \cosh kx = \text{const.}$$

ここに、 R は波数である。模型は2型の場合で水路中央部($y=0$)の値である。堤背後の流れを上式で比較すること自体に問題はあるとしても、堤背後の流れは可視化に並べくほど複雑であることが推測される。(固定床)

(B) 模型のタイプ1に沿う移動床上の波高変化を図.3に示した。図の中で H_0 は冲浪波高、 t は波の作用時間である。図によると、堤高によらず堤の前面と背面にかけた波高変化(差異)は大きい。

(C) 移動床水底の波による変化について、模型のタイプ2とによる比較を示したもののが図.4～

図.7である。図で横軸は汀線からの距離 x 、縦軸は波と作用させる前の一様斜面を基準にとり、波を作用させた後の砂面の洗掘や堆積の状況を刻深で与えてある。また、 $y=0$ は水路中央部を示している。図によると、潜り堤で堤幅だけを変化させた場合(図.4と図.5の比較)は堤端開口部が狭くほど(図.4)、開口部の洗掘は非常に増大することがわかる。つぎに、堤高だけを変化させた潜り堤の場合(図.5と図.6の比較)では極端な差異はみられない。このことは実験条件(例えば堤高と波の特性)にも大きく作用されると思われる所以、別の条件に対する考察も必要になる。最後に締め切り堤にした(図.7)場合では堤背後の堆積と、堤端部の洗掘が他の場合に比較して極めて大きいことが判断される。

4. 結び 潜りと締め切り離岸堤の堤背後の海浜変形における差異は大きいことがわかった。

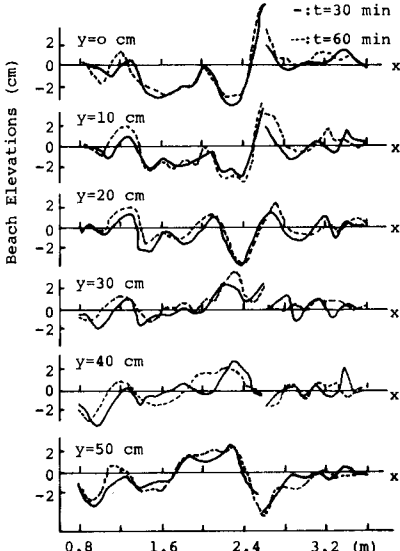


Fig. 4 Beach Profile (model type 1)

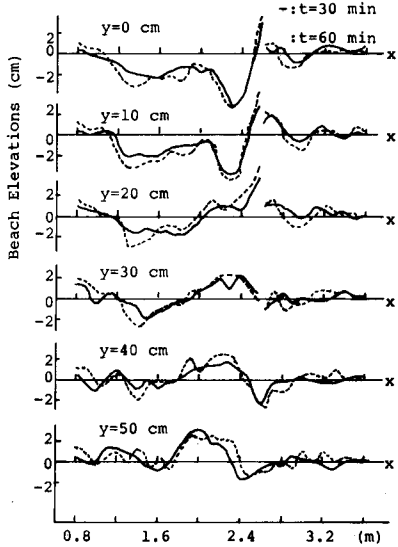


Fig. 5 Beach Profile (model type 2)

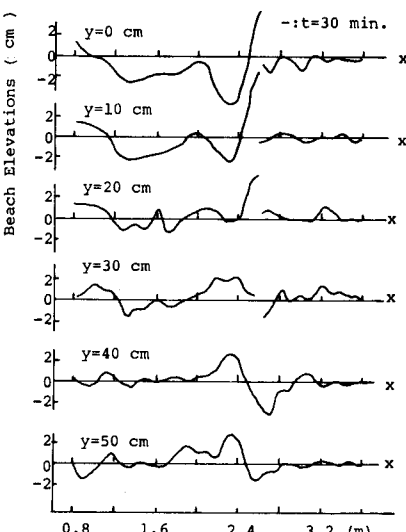


Fig. 6 Beach Profile (model type 3)

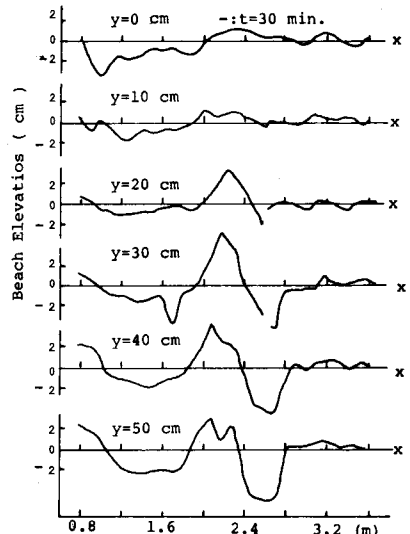


Fig. 7 Beach Profile (model type 4)